

Московский Физико-Технический Институт

Отчет по эксперименту

1.1.4.

**Изучение статистических
закономерностей на примере измерения
фона космического излучения**

Выполнил:
Студент 1 курса ФРКТ
Группа Б01-302
Хальфин Бахтияр

Аннотация

Цель работы: изучить статистические закономерности при измерении однородного во времени случайного процесса; проверить возможность описания интенсивности радиационного фона статистическими законами Пуассона и Гаусса; определить среднее число регистрируемых космических лучей в секунду и определить погрешность результата

В работе используются: счетик Гейгера-Мюллера, компьютер с интерфейсом для связи со счётчиком.

Теоретические сведения

Базовые статистические понятия

Для простоты будем считать, что все ошибки, кроме статистических, пренебрежимо малы и рассматривать их не будем.

Наиболее важной характеристикой измерения является *выборочное среднее* значение числа измерений

$$\langle n \rangle \equiv \frac{1}{N} \sum_{i=1}^N n_i \quad (1)$$

При увеличении количества измерений, выборочное среднее будет стремиться к некоторому конечному пределу, но реальное число измерений всегда конечно, поэтому значение среднего всегда содержит *погрешность*

$$\bar{n} = \lim_{N \rightarrow \infty} \langle n \rangle$$

Кроме среднего значения важно знать *средний квадрат отклонения*, называемый также *выборочной дисперсией*

$$\sigma_n^2 \equiv \frac{1}{N} \sum_{i=1}^N (n_i - \bar{n})^2 \quad (2)$$

Аналогично при $N \rightarrow \infty$ выборочная дисперсия стремится к некоторому предельному значению

$$\sigma_n^2 = \lim_{N \rightarrow \infty} \sigma_n^2 = \overline{(n - \bar{n})^2}$$

Погрешность среднего значения $\langle n \rangle$ при независимых измерениях связана со погрешностью *отдельного* измерения формулой

$$\sigma_{\langle n \rangle} = \frac{\sigma_n}{\sqrt{N}} \quad (3)$$

Таким образом, увеличивая количество измерений, среднее значение приближается к «истинному» \bar{n} . При конечном N истинное среднее с высокой вероятностью лежит в интервале

$$\bar{n} = \langle n \rangle \pm \frac{\sigma_n}{\sqrt{N}} \quad (4)$$

Пуассоновский процесс

Если события однородны во времени и каждое следующее событие не зависит от прошлого, то последовательность таких событий называют *пуассоновский процессом*. Для пуассоновского процесса справедливо равенство

$$\sigma = \sqrt{n} \quad (5)$$

На практике можно ожидать приближённое равенство для *выборочных* значений

$$\sigma_n \approx \sqrt{\langle n \rangle}$$

Погрешность эксперимента

Если подставить основное свойство распределения Пуассона (5) в формулу (3), получится среднеквадратичная погрешность определения среднего:

$$\sigma_{\langle n \rangle} = \frac{\sigma_n}{\sqrt{N}} = \sqrt{\frac{\langle n \rangle}{N}}$$

Для относительного значения погрешности:

$$\varepsilon_{\langle n \rangle} = \frac{\sigma_{\langle n \rangle}}{\langle n \rangle} = \frac{1}{\sqrt{\langle n \rangle N}}$$

Оборудование

Для измерения интенсивности космических лучей используется счетчик Гейгера-мюллера. Счетчик представляет собой наполненный газом сосуд с двумя электродами. Частицы космических лучей ионизируют газ, которым наполнен сосуд и выбивают электроны из его стенок. Эти электроны ускоряются электрическим полем и ионизируют молекулы газа. В результате образуется лавина электронов, и ток через счетчик резко увеличивается.

В данной работе измеряется величина, которая меняется со временем случайным образом. Методы обработки результатов те же, что и для расчет случайных погрешностей. Погрешности измерений потока частиц с помощью счетчиков Гейгера-Мюллера малы по сравнению с изменениями самого потока. Погрешности измерений определяются в основном временем, в течение которого восстанавливаются нормальные условия в счетчик после срабатывания счетчика.

В работе используется специальная компьютерная программа, с помощью которой можно получить сведения об экспериментальной установке, провести численный и реальный эксперименты.

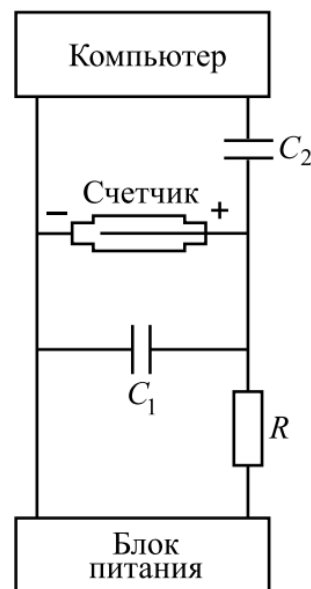


Рис. 1: Схема включения счетчика

Ход работы

1. Включаем компьютер и счетчик. В программе запускаем измерение для основного эксперимента
2. Запускаем симуляцию с настройками по умолчанию (распределение Пуассона, интенсивность — 1.0, ускорение — 10). Убеждаемся, что в зависимости от количества N собранных экспериментальных точек
 - а) Флуктуации среднего числа зарегистрированных частиц $\langle n \rangle$ уменьшаются, значение выходит на постоянную величину (рис. 2);
 - б) Флуктуации среднеквадратичного отклонения σ_n уменьшаются, значение выходит на постоянную величину (рис. 3);
 - в) σ_n и $\sqrt{\langle n \rangle}$ всё больше приближаются друг к другу (рис. 4);
 - д) Степень совпадения экспериментальной гистограммы с теоретическими кривыми у распределения Пуассона выше, чем у распределения Гаусса (рис. 4).

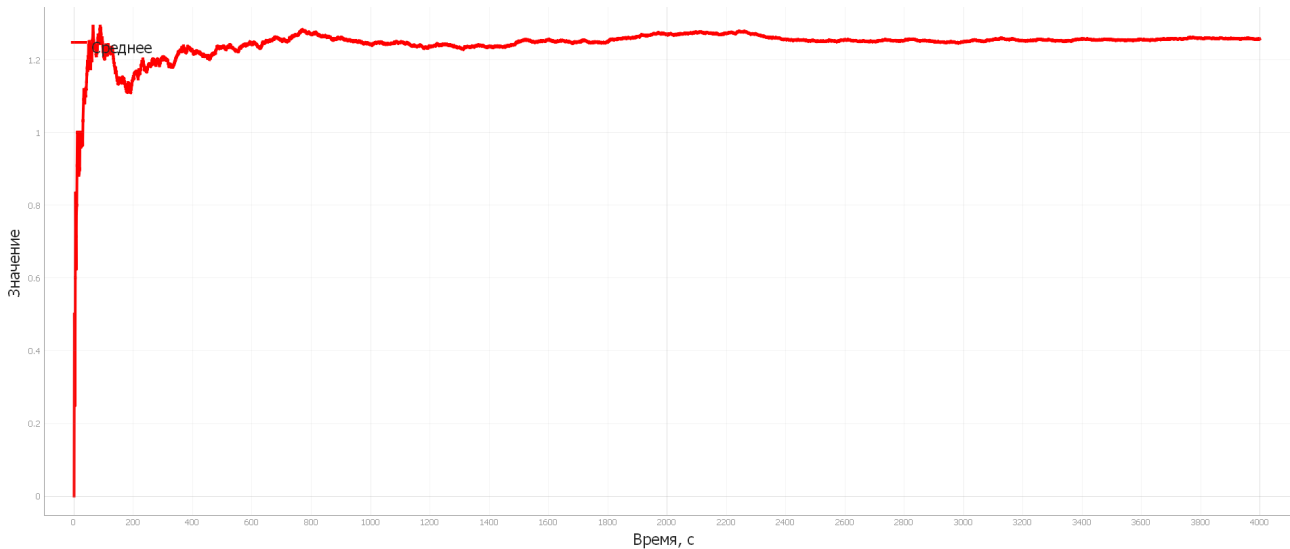


Рис. 2: Среднее число зарегистрированных частиц

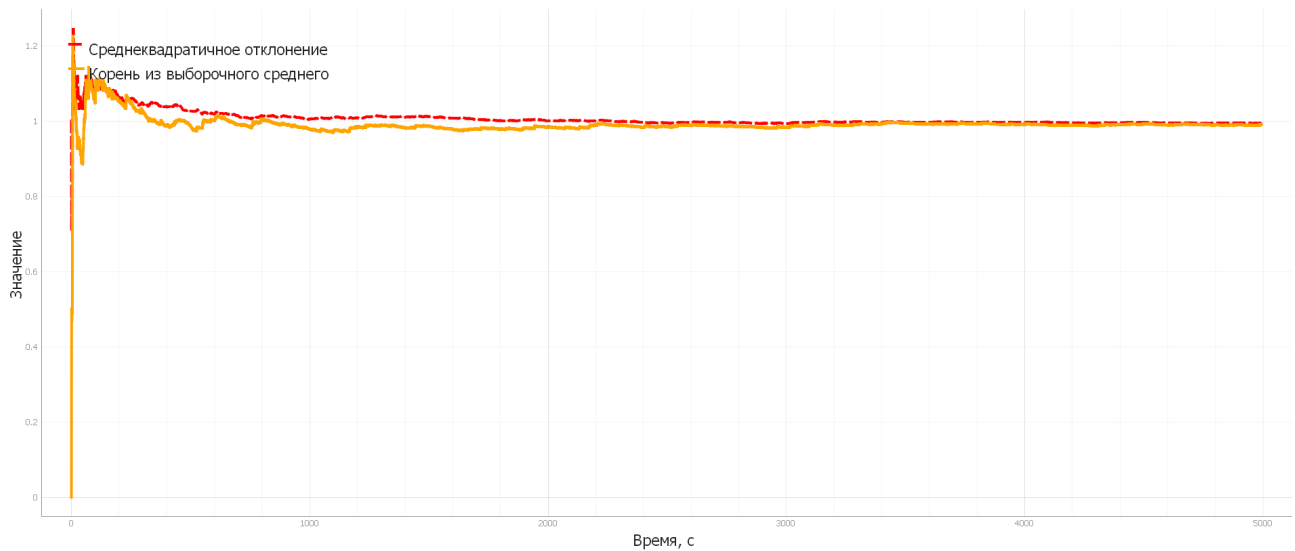


Рис. 3: Среднее квадратичное значение и корень из выборочного среднего

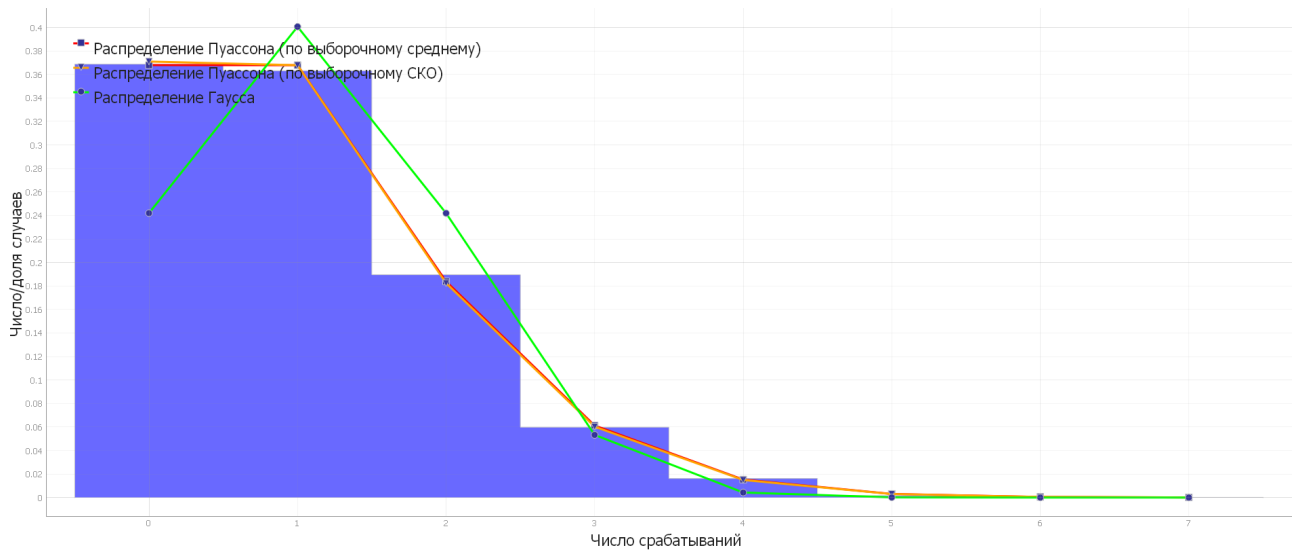
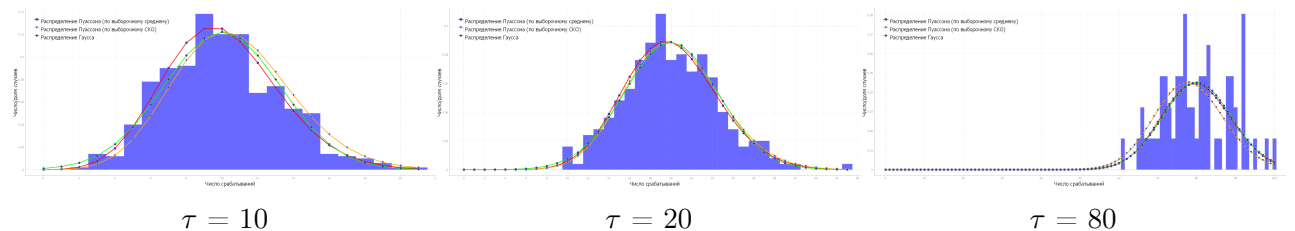


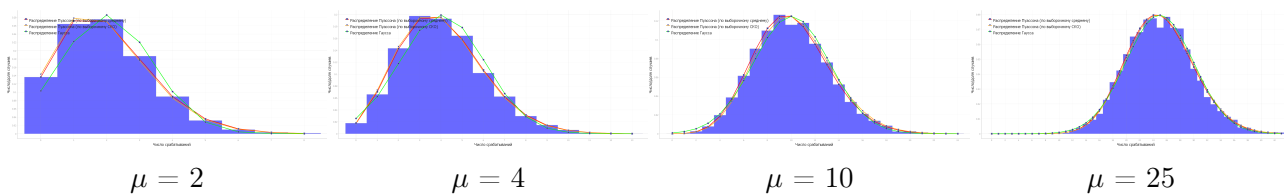
Рис. 4: Гистограмма

3. Рассмотрим как изменяются гистограммы для параметра группировки результатов $\tau = 10; 20; 80$:



При изменении порядка группировки результатов τ максимальная доля случаев уменьшается (в силу увеличения количества групп). График распределения Гаусса и Пуассона принимает более округлый вид.

4. Рассмотрим как изменяются гистограммы для параметра средней интенсивности числа частиц $\mu = 2; 4; 10; 25$.



При изменении порядка группировки результатов μ максимальная доля случаев уменьшается (в силу увеличения количества групп). График распределения Гаусса и Пуассона принимает более округлый вид.

Обработка результатов

Для основного эксперимента сгруппируем данные с различными интервалами группировки $\tau = 10\text{с}; 20\text{с}; 40\text{с}; 80\text{с}$.

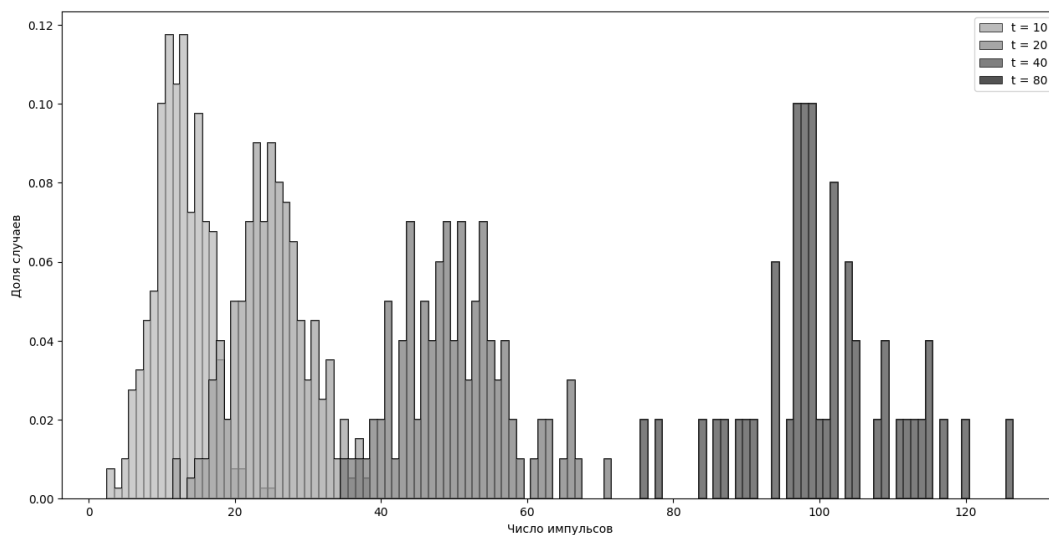


Рис. 7: Гистограмма для числа отсчетов n и w_n

Для каждого τ вычислим среднее число регистрируемых частиц $\langle n \rangle$:

$$\langle n_{10} \rangle = \frac{1}{N} \sum_{i=1}^N n_i \approx 10.09$$

$$\langle n_{20} \rangle = \frac{1}{N} \sum_{i=1}^N n_i \approx 20.18$$

$$\langle n_{40} \rangle = \frac{1}{N} \sum_{i=1}^N n_i \approx 40.36$$

$$\langle n_{80} \rangle = \frac{1}{N} \sum_{i=1}^N n_i \approx 80.72$$

Для каждого τ вычислим среднеквадратичное отклонение σ_n :

$$\sigma_{n_{10}} = \sqrt{\frac{1}{N} \sum_{i=1}^N (n_i - \bar{n})^2} \approx 3.14$$

$$\sigma_{n_{20}} = \sqrt{\frac{1}{N} \sum_{i=1}^N (n_i - \bar{n})^2} \approx 4.39$$

$$\sigma_{n_{40}} = \sqrt{\frac{1}{N} \sum_{i=1}^N (n_i - \bar{n})^2} \approx 6.40$$

$$\sigma_{n_{80}} = \sqrt{\frac{1}{N} \sum_{i=1}^N (n_i - \bar{n})^2} \approx 9.91$$

Для каждого τ вычислим погрешность среднего значения $\sigma_{\langle n \rangle}$:

$$\sigma_{\langle n_{10} \rangle} = \frac{\sigma_n}{\sqrt{N}} \approx 0.16$$

$$\sigma_{\langle n_{20} \rangle} = \frac{\sigma_n}{\sqrt{N}} \approx 0.31$$

$$\sigma_{\langle n_{40} \rangle} = \frac{\sigma_n}{\sqrt{N}} \approx 0.64$$

$$\sigma_{\langle n_{80} \rangle} = \frac{\sigma_n}{\sqrt{N}} \approx 1.40$$

Для каждого τ вычислим среднюю интенсивность регистрируемых частиц в секунду j :

$$\begin{aligned}\langle j_{10} \rangle &= \frac{\langle n \rangle}{\tau} \approx 1.01 \\ \sigma_{\langle 10 \rangle} &= \frac{\sigma_n}{\tau} \approx 0.02 \\ \overline{j_{10}} &= \langle j_{10} \rangle \pm \frac{\sigma_{j_{10}}}{\sqrt{N}} = 1.01 \pm 0.016 \langle j_{20} \rangle = \frac{\langle n \rangle}{\tau} \approx 1.01 \\ \sigma_{\langle 20 \rangle} &= \frac{\sigma_n}{\tau} \approx 0.016 \\ \overline{j_{20}} &= \langle j_{20} \rangle \pm \frac{\sigma_{j_{20}}}{\sqrt{N}} = 1.01 \pm 0.016 \langle j_{40} \rangle = \frac{\langle n \rangle}{\tau} \approx 1.01 \\ \sigma_{\langle 40 \rangle} &= \frac{\sigma_n}{\tau} \approx 0.016 \\ \overline{j_{40}} &= \langle j_{40} \rangle \pm \frac{\sigma_{j_{40}}}{\sqrt{N}} = 1.01 \pm 0.016 \langle j_{80} \rangle = \frac{\langle n \rangle}{\tau} \approx 1.01 \\ \sigma_{\langle 80 \rangle} &= \frac{\sigma_n}{\tau} \approx 0.016 \\ \overline{j_{80}} &= \langle j_{80} \rangle \pm \frac{\sigma_{j_{80}}}{\sqrt{N}} = 1.01 \pm 0.016\end{aligned}$$

Можно заметить, что средняя интенсивность регистрируемых частиц в секунду не зависит от величины интервала τ и числа точек $N = t/\tau$

Наложим поверх экспериментальных гистограмм теоретические распределения Пуассона и Гаусса.

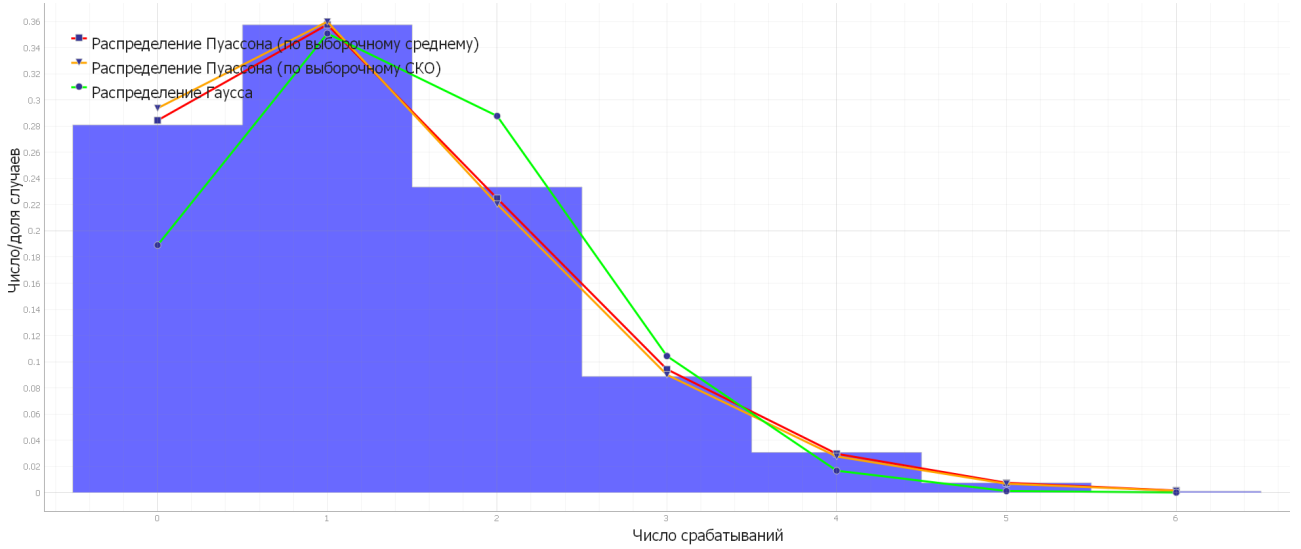


Рис. 8: Гистограмма с наложенными распределениями Пуассона и Гаусса

Экспериментальные гистограммы с большой точностью согласуются с распределениями Пуассона и с несколько меньшей точностью с распределением Гаусса.

Проверим справедливость основного свойства распределения Пуассона

$$\begin{aligned}\sqrt{\langle n \rangle} &\approx \sigma_n \\ \sqrt{10.09} &\approx 3.18 \approx 3.14\end{aligned}$$

Данное равенство выполняется с точностью до десятых. Можно сделать вывод, что регистрация частиц является однородным во времени случайным процессом, а количество отсчётов в одном опыте подчиняется распределению Пуассона.

Определим доли случаев, когда отклонение числа отсчётов n от среднего значения не превышает (по модулю) одного, двух и трёх стандартных отклонений:

$$|n - \langle n \rangle| \leq \sigma_n$$

$$w_1 = 0.59$$

$$|n - \langle n \rangle| \leq 2\sigma_n$$

$$w_2 = 0.96$$

$$|n - \langle n \rangle| \leq 3\sigma_n$$

$$w_3 = 0.99$$

Сравним результаты с теоретическими для распределения Гаусса:

$$|n - \langle n \rangle| \leq \sigma_n$$

$$w_1 = 0.67$$

$$|n - \langle n \rangle| \leq 2\sigma_n$$

$$w_2 = 0.93$$

$$|n - \langle n \rangle| \leq 3\sigma_n$$

$$w_3 = 0.99$$

Можно сделать вывод, что при достаточно больших \bar{n} распределение Пуассона приближается к *нормальному распределению (распределению Гаусса)*

Вывод

В ходе выполнения работы познакомился с основными понятиями статистики. Определил среднее число регистрируемых космических лучей в секунду и определил погрешность результата. Выяснил, что средняя интенсивность регистрируемых частиц в секунду не зависит от величины интервала τ и числа точек $N = t/\tau$. Проверил возможность описания исследуемого процесса статистическими законами Пуассона и Гаусса.